

НТУУ «КПИ» им. Игоря Сикорского
ХТФ, кафедра ТНВ и ОХТ

**ТЕОРИЯ И ПРАКТИКА ПРЕДОТВРАЩЕНИЯ НАКИПИ И
КОРРОЗИИ В ВОДНЫХ ТЕПЛООБМЕННЫХ СИСТЕМАХ**

к.т.н., доцент Концевой С.А.

WATER HARMONY II / ВОДНАЯ ГАРМОНИЯ 2

Киев, 1 июня 2017 года

Индекс Ланжелье - LSI

$$LSI = pH - pH_s$$

$LSI > 0$ – можливе утворення накипу (корозія не можлива – захист карбонатами);

$LSI < 0$ – маломовірне утворення накипу (корозія можлива);

$LSI = 0$ – система врівноважена.

pH – pH даної системи (вимірюване значення з температурною поправкою до 90 °C);

pH насыщення (pH_s) знаходиться з рівняння:

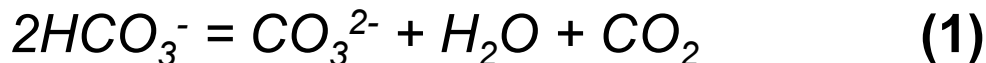
$$\frac{K_s}{[Ca^{2+}]K_2} [H^+]_s^2 + \left(\frac{2K_s}{[Ca^{2+}]} - Alk \right) [H^+]_s + K_w = 0$$

K_s – ДР(CaCO_3), K_2 – друга константа дис. вугольної кислоти, Alk – загальна лужність

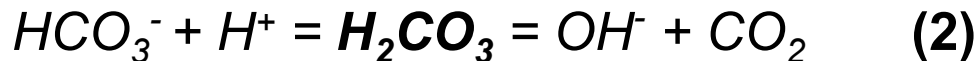
Карбонатный индекс (произведение жёсткости на щёлочность) – производный от Ланжелье при температуре больше 100°C

Гидрокарбонатное равновесие

Загальноприйняте рівняння вуглевислотної рівноваги:



та кислотного розкладання ГКІ ($\text{pH } 4,2 \div 8,35$):



Наші рівняння гідрокарбонатної рівноваги

($\text{pH } 4,2 - 11,2$; $\text{pH}_{\text{МГР}} 8,35$):

$\text{pH} < \text{pH}_{\text{МГР}}$:

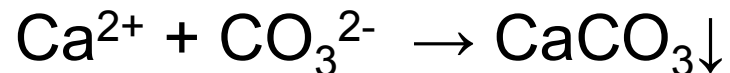
$\text{pH} > \text{pH}_{\text{МГР}}$:



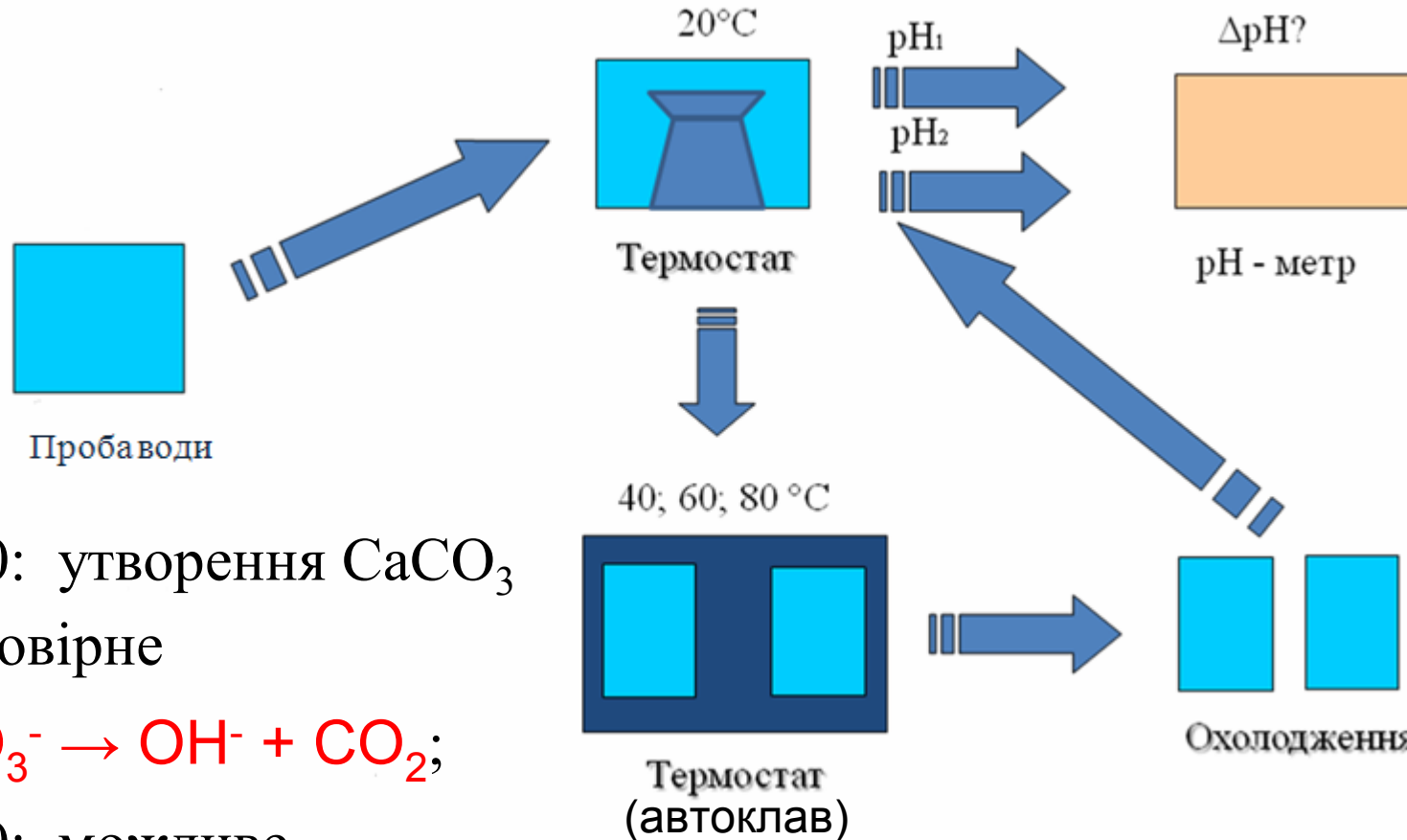
(ОН-механізм)



(Н-механізм)



Методика определения механизма разложения ГКИ в воде, не контактирующей с воздухом



ΔpH < 0: утворення CaCO₃
малоїмовірне



ΔpH > 0: можливе
утворення CaCO₃



Експериментальний ПКН:
 $\Delta\text{pH} = \text{pH}_1 - \text{pH}_2$

Рабочие ёмкости



реакторы



“гранаты”

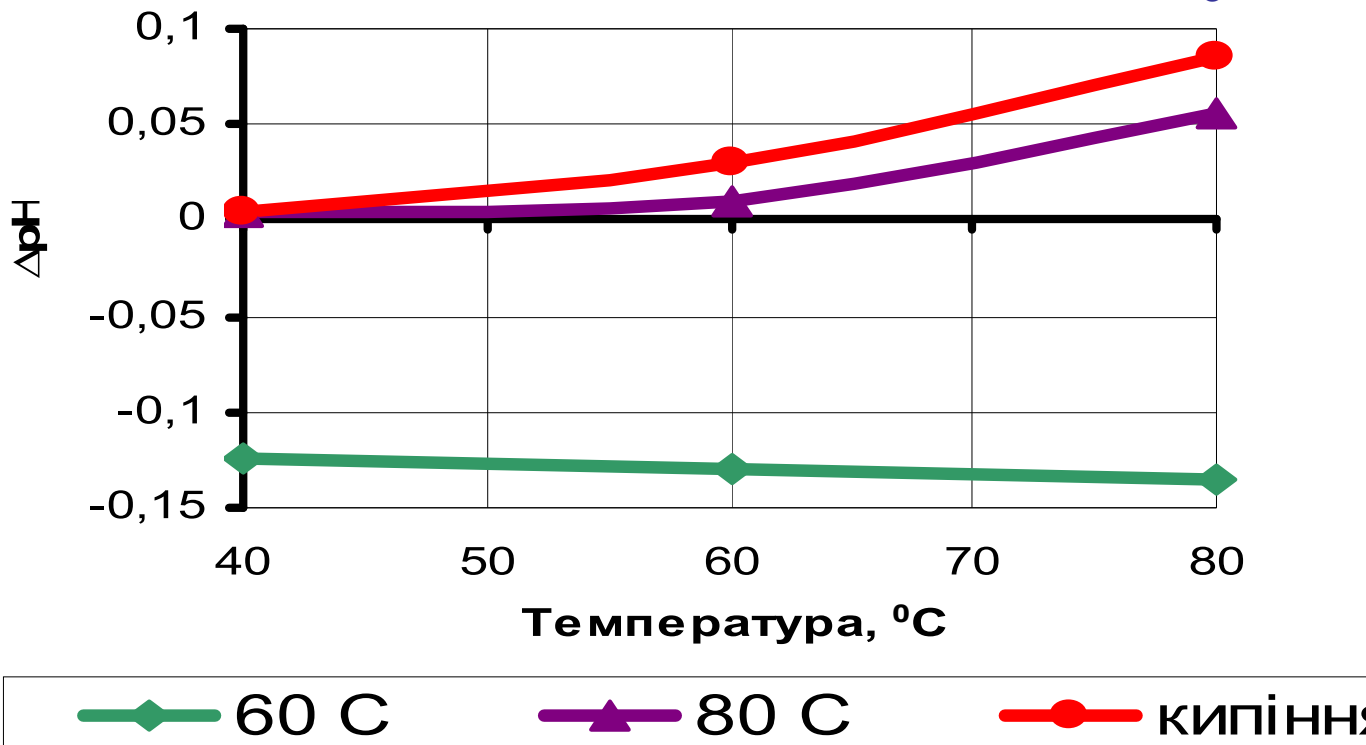
Термостаты



Автоклав



Определение ΔpH проб воды с известными свойствами, по отношению образованию CaCO_3



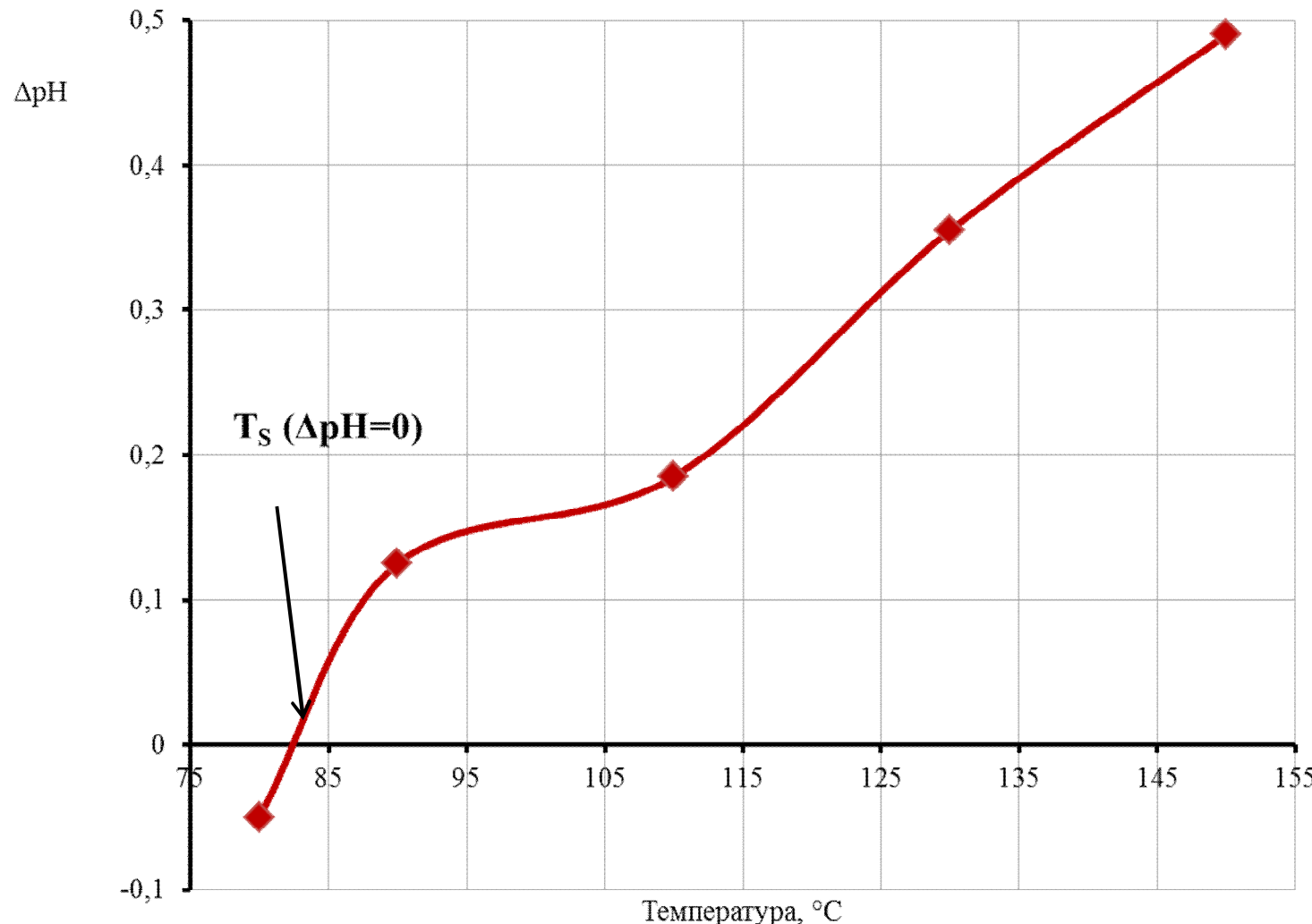
Попереднє нагрівання водопровідної води ($T_{\text{в}}=5 \text{ моль/дм}^3$, $L=3,5 \text{ моль/дм}^3$, $\text{pH}=7,2$) у контакті з повітрям до температури:

60 $^{\circ}\text{C}$ – імітує охолоджувальну систему (pH близько 7,5);

80 $^{\circ}\text{C}$ – імітує вакуумну деаерацію (pH близько 8,5);

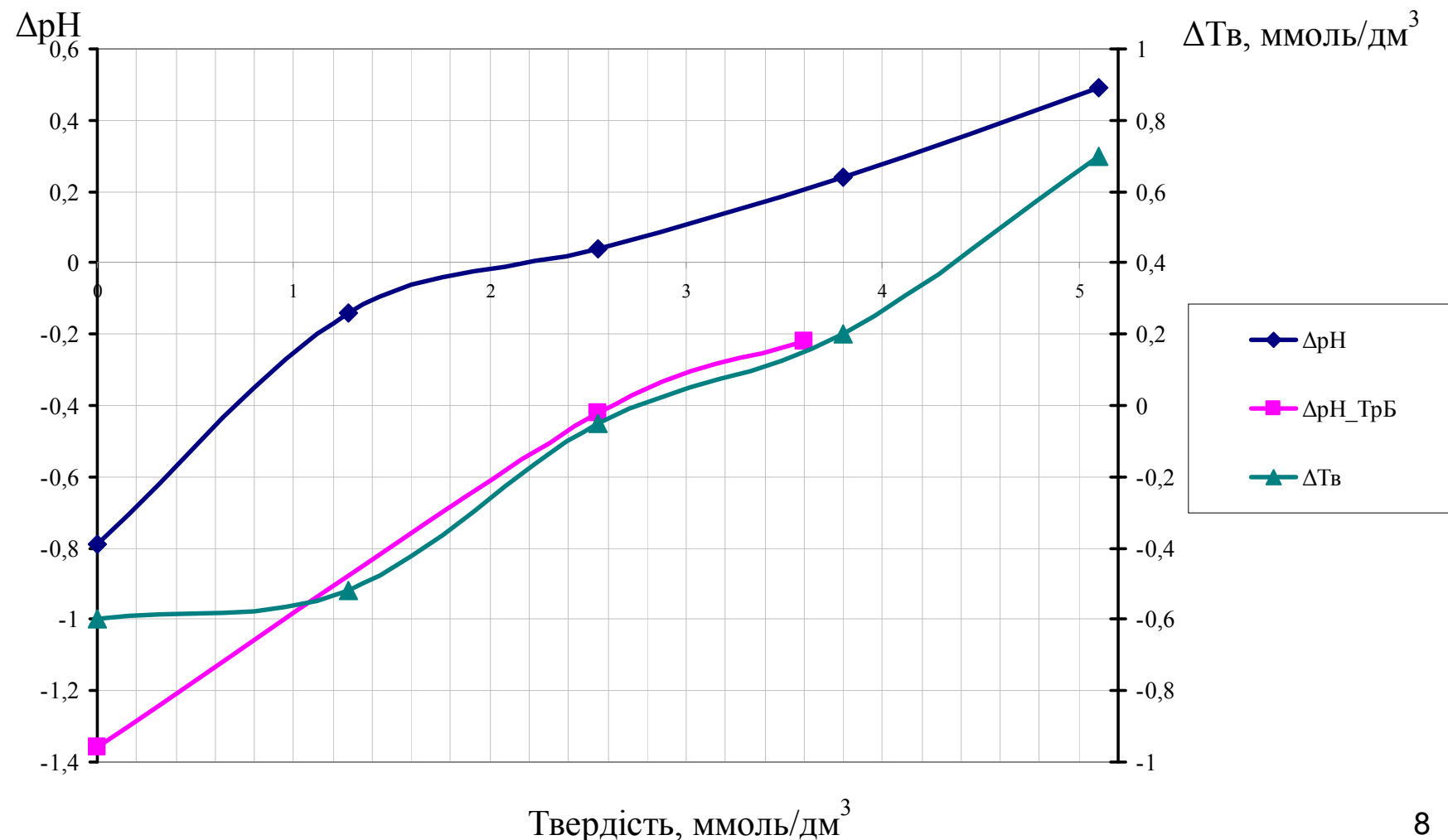
100 $^{\circ}\text{C}$ – вода з гарантованим карбонатним накипоутворюванням (pH близько 9,0).

Определение условной температуры насыщения воды (с водопровода г. Киева) - T_s



Аproxимація: $T_s = 82 ^{\circ}\text{C}$

Определение допустимой жёсткости воды при температуре 150 °C и pH 7,6



Комплексная оценка ПКН

$$\Delta T_B = T_{B_1} - T_{B_2}$$

- утворення $\text{CaCO}_3 \rightarrow$ зменшення $[\text{Ca}^{2+}]$

1)

$$\Delta T_B \neq 0, \Delta pH < 0$$

- негерметичність реактору
(ОН-механізм – первинний,
Н-механізм – вторинний);

2)

$$\Delta T_B \neq 0, \Delta pH > 0$$

- утворюється карбонат
кальцію (Н-механізм);

3)

$$\Delta T_B = 0, \Delta pH > 0$$

- переходна зона (Н-механізм);

4)

$$\Delta T_B = 0, \Delta pH < 0$$

- утворення карбонату
кальцію маломовірне (ОН-
механізм).

Осад $\text{CaCO}_3 \downarrow$ зазвичай не
утворюється ($\downarrow \text{pH}$)

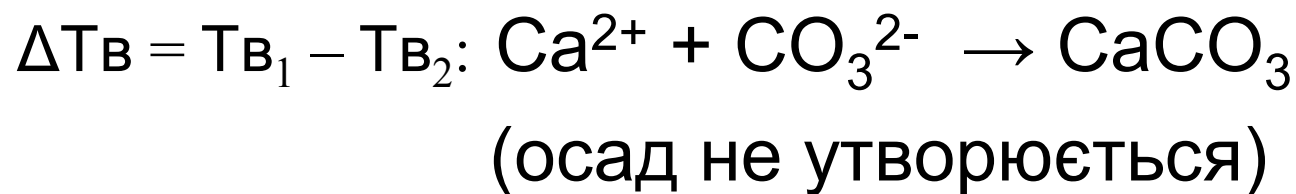
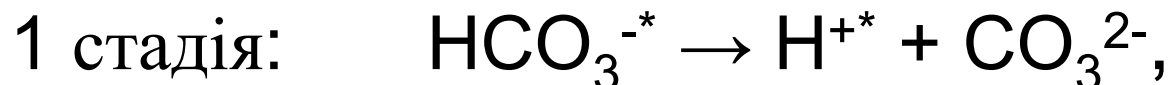
190 °C: $\text{pH}_1=7,6$, $\text{pH}_2=6,05$,
 $\Delta \text{pH}=1,55$ (в/в) 9

Влияние предварительной очистки на увеличение жёсткости воды после термостатирования (60°С)

№	Проба води (мкмоль/л)	$\Delta T_B = T_{B_1} - T_{B_2}$, мкмоль/дм ³
1	1 ст. Na-катіон. ДТЕЦ (60)	-20
2	Вода після деаератора ДТЕЦ	40
3	1 ст. Na-катіон. СТ-1 (50)	-320
4	2 ст. Na-катіон. СТ-1 (20)	-120
5	Вода після деаератора СТ-1	-30

Фактический потенциал карбонатного накипеобразования

Н-механізм розкладання ГКІ:



$$K_{2gk} = \frac{K_w}{K_1} = \frac{[\text{OH}^-]_1 \cdot [\text{CO}_2]_1}{[\text{HCO}_3^-]_1} = \frac{[\text{OH}^-]_2 \cdot ([\text{CO}_2]_1 + \Delta[\text{H}^+])}{[\text{HCO}_3^-]_1 - 2 \cdot \Delta[\text{H}^+]$$

$$\Delta[\text{CO}_3^{2-}] = \Delta[\text{H}^+] = \frac{K_{2gk} \cdot [\text{HCO}_3^-]_1 \cdot ([\text{H}^+]_2 - [\text{H}^+]_1)}{2 \cdot K_{2gk} \cdot [\text{H}^+]_2 + K_w}$$

Расчёт фактического ПКН - $\Delta[H^+]$

При терmostатуванні води за температури 150 °C pH зменшилось від 7,22 до 6,48, в той час як твердість зменшилась від 4,9 до 3,6 ммол/дм³; лужність вихідної води становила 4,6 ммол/дм³.

$$\Delta[H^+] = \frac{1,6 \cdot 10^{-8} \cdot 4,6 \cdot 10^{-3} \cdot (10^{-6,48} - 10^{-7,22})}{2 \cdot 1,6 \cdot 10^{-8} \cdot 10^{-6,48} + 6,47 \cdot 10^{-15}} \cdot 10^3 = 1,16831$$

$$\Delta T_B = (T_B_1 - T_B_2) / 2 = (4,9 - 3,6) / 2 = 1,3 / 2 = 0,65$$

$$\Delta[T_B] / \Delta[H^+] = 0,56$$

Средняя концентрация кислорода в фактической подпитке тепловых сетей

- уровень присосов необработанной воды:

$$d = G_{\text{необр}} / G_{\text{обр}} = (\mathcal{J}_{\text{сет}} - \mathcal{J}_{\text{обр}}) / (\mathcal{J}_{\text{необр}} - \mathcal{J}_{\text{сет}}), \quad (1)$$

где, $G_{\text{необр}}$ - расход необработанной воды, м³/час; $G_{\text{обр}}$ - расход обработанной воды, м³/час; $\mathcal{J}_{\text{сет}}$ - жёсткость сетевой воды, мкг-экв/дм³; $\mathcal{J}_{\text{обр}}$ - жёсткость обработанной воды, мкг-экв/дм³; $\mathcal{J}_{\text{необр}}$ - жёсткость необработанной воды, мкг-экв/дм³.

- Средняя концентрация кислорода в фактической подпитке (смесь обработанной и необработанной воды), мкг/дм³:

$$C(O_2)_{\text{факт}} = (C(O_2)_{\text{обр}} + d \cdot C(O_2)_{\text{необр}}) / (1 + d). \quad (2)$$

- Значения $\mathcal{J}_{\text{сет}}$ в диапазоне (285÷500) мкг-экв/дм³ соответствует значению d в диапазоне (0,05÷0,10) и $C(O_2)_{\text{факт}}$ в диапазоне (400÷800)мкг/дм³ при $C(O_2)_{\text{обр}}=50$ мкг/дм³ и $C(O_2)_{\text{необр}}=8000$ мкг/дм³.

Фактическая эффективность «защитной» плёнки

- фактическая концентрация кислорода в сетевой воде (400÷800 мкг/дм³) в десятки раз превышает наблюдаемую в обратной сетевой воде (20 мкг/дм³), т.к. большая часть кислорода (от 400÷800 до 20 мкг/дм³) расходуется на коррозию поверхности стальных трубопроводов.
- Степень восстановления кислорода железом стали составляет (95÷97,5)% по формуле:

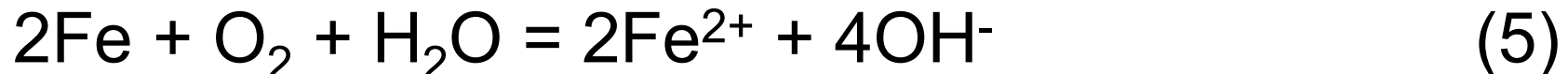
$$X_{\text{ред}} = (C(O_2)_{\text{факт}} - C(O_2)_{\text{сет}}) / C(O_2)_{\text{факт}} \cdot 100 \quad (3)$$

- Фактическая эффективность “защитной” карбонатной и железоокисной плёнки составляет (5÷2,5)%:

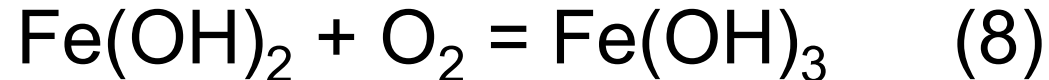
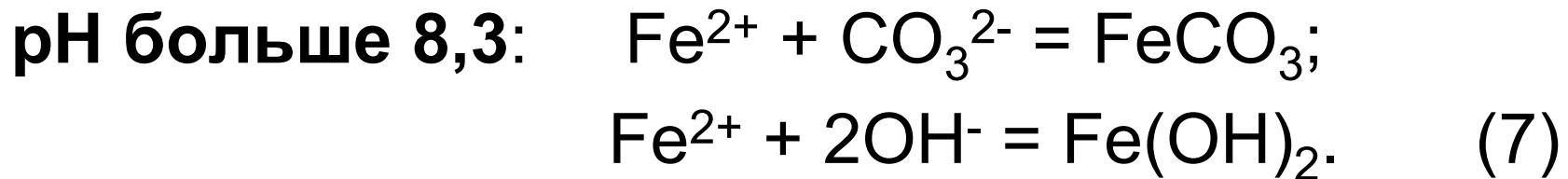
$$\Phi\Theta = 100 - X_{\text{ред}} \quad (4)$$

Анализ факторов коррозии

- первичная реакция коррозии:



- pH меньше 8,3: $\text{OH}^- + \text{CO}_2 = \text{HCO}_3^- \quad (6)$
- Следующие реакции не рассматриваются вовсе:

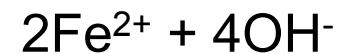
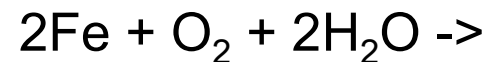


Эффективность восстановителей кислорода

Герметичный
реактор с:
Образцами стали
+
 Na_2SO_3
+
катализатор
 Cu^+ (0,1 мг/л) или
 Co^{2+} (0,01 мг/л)



Конкурирующие реакции



$$\text{ЭВК}_t = \Delta C(\text{OR})_1 / \Delta C(\text{OR})_0 * 100,$$

где индекс t - заданная температура термостатирования;

$\Delta C(\text{BK})_1$ - изменение концентрации сульфита натрия в присутствии стальных образцов;

$\Delta C(\text{BK})_2$ – то же без стальных образцов.

ЭВК₆₀ стали 20 при pH = 7,6

без кат. 90%, с кат. 99%